



کالی شناسی و سنگ‌زائی کروماسپینل‌های توده‌ی فرقلیایی رودان، استان هرمزگان

محمد پوستی^{*}، غلامرضا قدمی، سودابه صالحی

گروه زمین‌شناسی، دانشگاه هرمزگان، بندر عباس

(دریافت مقاله: ۹۵/۳/۳، نسخه نهایی: ۹۵/۶/۶)

چکیده: ناحیه‌ی مورد بررسی در شمال شهرستان رودان واقع شده و بخشی از نوار افیولیتی کهنه‌ج - رودان - میناب را تشکیل می‌دهد. سنگ‌های منطقه از نوع هارزبورژیت و لرزولیت هستند و از الیوین، ارتوبیروکسن، کلینوپیروکسن و کالی فرعی کروماسپینل تشکیل شده‌اند. با توجه به داده‌های تجزیه‌ی نقطه‌ای، میزان MgO در الیوین‌ها بین ۵۰/۵۵ تا ۵۰/۱۷ درصد است، و از نوع فورستیت و کلینوپیروکسن‌ها نیز از نوع دیوپسیدی و اسپینل کرومدار هستند. بررسی‌های ریزپردازشی روی کروماسپینل موجود در لرزولیت‌های فرقلیایی، مقادیر بالای $Mg\#$ (۷۱٪ - ۷۷٪) و Al_2O_3 (۴۶٪ - ۵۲٪) درصد وزنی) و مقادیر پایین $Cr\#$ (۱۴٪ - ۲۲٪) را نشان می‌دهند. نسبت کروم به آلومینیم (Cr/Al) کالی اسپینل در لرزولیت‌ها، برابر ۰/۱۹ است. مقدار Fe^{3+} در کروماسپینل موجود در پریدوتیت‌های فرقلیایی بسیار پایین (۰/۱٪ < درصد وزنی) است که نشان دهنده‌ی تبلور در شرایط گریزندگی پایین اکسیژن است. براساس شیمی کالی اسپینل، نمونه‌های لرزولیتی مورد بررسی در موقعیت زمین‌ساختی پریدوتیت‌های اقیانوسی (آبیسال) قرار می‌گیرند و در محل پشت‌های میان اقیانوسی (مورب) تشکیل شده‌اند.

واژه‌های کلیدی: کروم/اسپینل؛ لرزولیت؛ پریدوتیت؛ فرقلیایی؛ رودان.

گسلی است. واحدهای مجاور آن، شامل آبرفت‌های قدیمی و رسوب‌های موجود در دشت‌هاست که به سن کواترنری هستند. اولترابازی‌های رودان بیشتر از هارزبورژیت و مقدار کمتری لرزولیت تشکیل یافته است که به سن پالئوسن گزارش شده‌اند (شکل ۱).

روش پژوهش

بررسی‌های انجام شده عبارتند از بررسی‌های صحرایی، آزمایشگاهی، میکروسکوپی و ژئوشیمیایی. در این پژوهش سعی شده است تا نمونه‌های مناسب با کمترین دگرسانی انتخاب شوند. سپس از این نمونه‌ها مقاطع نازک تهیه شد تا مورد بررسی ریزپردازشی قرار گیرند. پس از بررسی مقاطع نازک، تعدادی از آنها برای بررسی انتخاب شدند. به منظور تعیین ترکیب شیمیایی کالی‌های مختلف، ۳ نمونه مورد تجزیه‌ی نیمه کمی و تصویر برداری الکترونی قرار گرفتند. آنالیز نقطه‌ای

مقدمه
بخش فرقلیایی افیولیت، خاستگاه مهم اطلاعات ژئوشیمی، سنگ‌شناسی و زمین‌ساختی گوشته‌ی بالایی هستند. اسپینل، کالی پایدار و مقاوم در برابر دگرسانی بوده و شاخص‌های سنگ‌شناسختی قابل اطمینانی هستند که در طول دگرسانی تغییر ترکیب چندانی نمی‌کنند [۱]. فرقلیایی‌های مورد بررسی حاوی مقادیری کروماسپینل بوده و تا حدودی تحت تأثیر دگرسانی قرار گرفته‌اند.

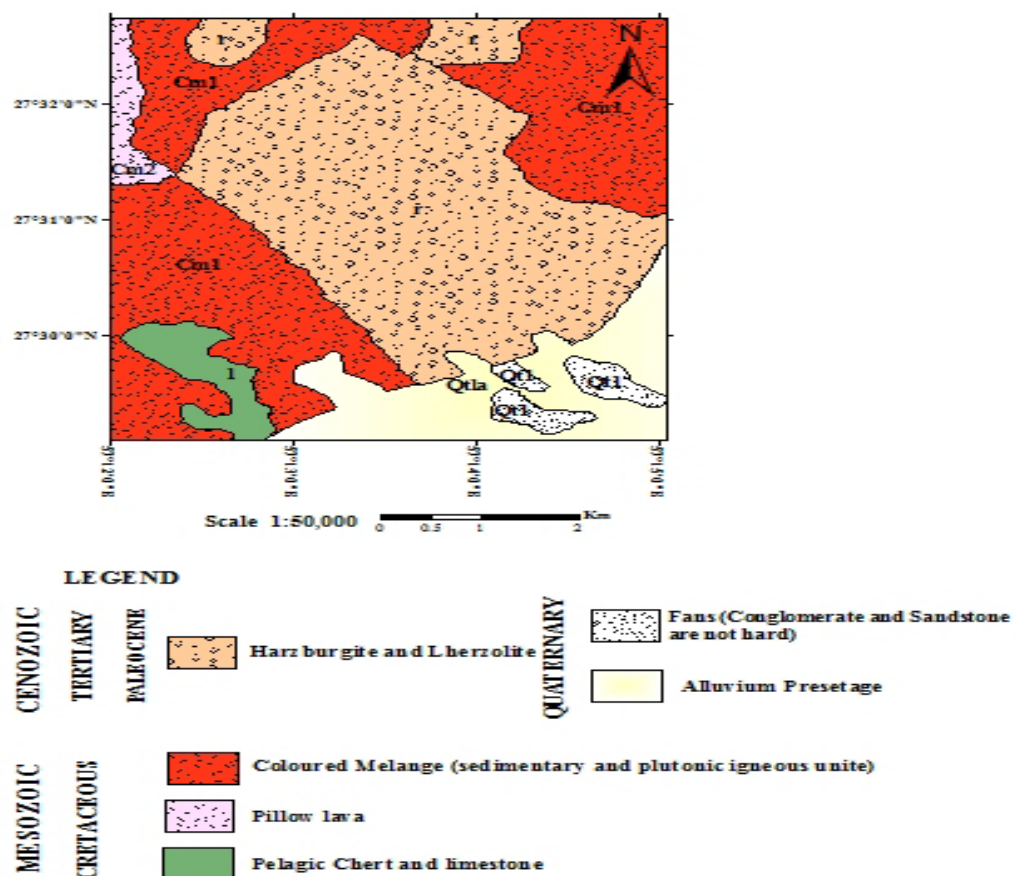
ناحیه‌ی مورد بررسی در شمال شهرستان رودان واقع شده است و بخشی از نوار افیولیتی کهنه‌ج - رودان - میناب است که در راستای گسل میناب قرار می‌گیرد. مجموعه‌ی فرقلیایی مورد بررسی از دیدگاه ساختاری در برخورده‌گاه دو منطقه‌ی زمین‌ساختی ایران، یعنی زاگرس و مکران جای می‌گیرند و سمت خاور و باخترا آن با آمیزه‌ی رنگین منطقه دارای مرز

های بی‌شکل و ریز دانه‌ای در سنگ‌ها سرپاپتینی شده‌اند، با این حال، بخش‌هایی سالم از آنها را هنوز می‌توان در مقاطع پیدا کرد. به علت شدیدتر بودن فرایند سرپاپتینی شدن در هارزبورژیت‌ها نسبت به لرزولیت‌ها، بافت مشبک در این سنگ‌ها به خوبی گسترش یافته است (شکل ۲ الف). کانی‌های ثانویه عبارتند از سرپاپتین و مگنتیت. ارتوبیپروکسن‌ها با بلورهای نیمه شکلدار تا بی‌شکل، خرد شده و دارای تیغه‌های جدایشی کلینوبیپروکسن هستند و عموماً دگرشکلی از خود نشان می‌دهند که نشانه تغییر شکل آنها در دما و فشار بالای گوشه است. این تیغه‌ها عموماً به موازات رخ ارتوبیپروکسن‌ها مشاهده می‌شوند. ارتوبیپروکسن‌ها نسبت به دیگر کانی‌های موجود در سنگ بزرگ‌ترند و در زمینه‌ی سرپاپتینی سنگ پورفیروکلاستهای را تشکیل می‌دهند. در بسیاری موارد، ادخال‌های ریزدانه تا میان دانه از کانی الیوین (بافت پوئی-کلیتیک) که ممکن است دارای شکستگی بوده و گاه سرپاپتینی شده باشند درون ارتوبیپروکسن‌ها قابل مشاهده‌اند، که نشان

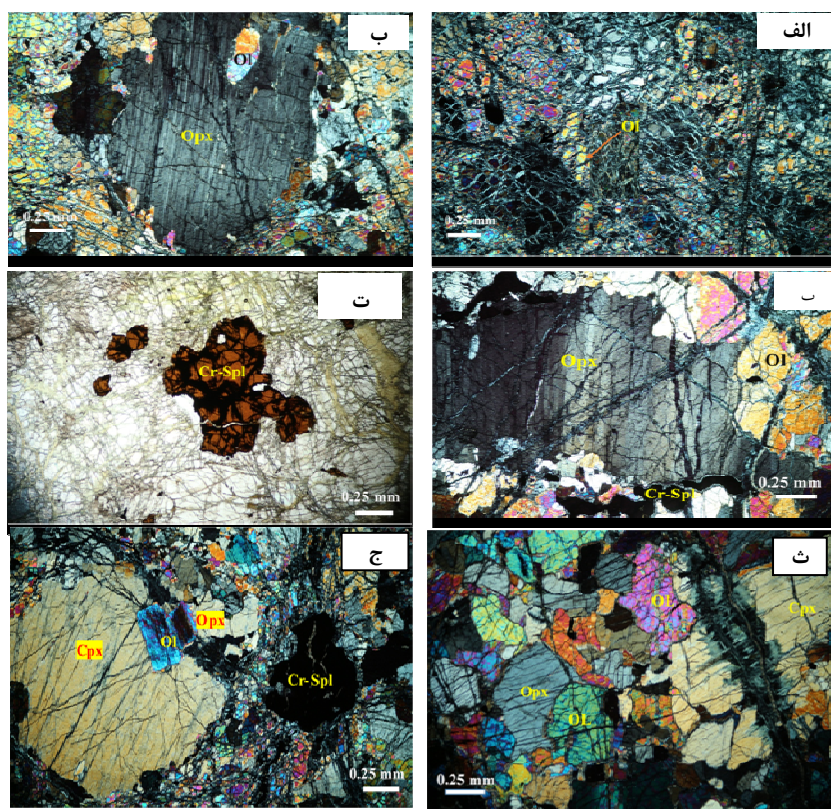
کانی‌ها در شرکت ایمیدرو و به وسیله‌ی ریدازنده‌ی الکترونی مدل CAMECA, X100 با ولتاژ شتاب دهنده‌ی ۱۵ kV و جریان ۲۰ nA صورت گرفته است. خلاصه‌ی نتایج تجزیه‌ی نقطه‌ای کانی‌ها در جدول‌های ۱ تا ۳ آورده شده‌اند.

سنگنگاری

پریدوتیت‌های منطقه از نظر سنگ‌شناسی، اساساً از هارزبورژیت و لرزولیت تشکیل شده‌اند. در سطح هوایده به رنگ زرد قهوه‌ای تا قهوه‌ای سوخته و در سطح تازه شکسته شده به رنگ سبز تیره هستند. از آنجا که کانی‌های تشکیل دهنده‌ی این سنگ‌ها تفاوت حجمی زیادی با هم ندارند، بنابراین سنگنگاری کانی‌های آنها را با هم مورد بررسی قرار می‌دهیم. هارزبورژیت‌ها از ۷۰-۷۵ درصد الیوین، بین ۲-۱۰ درصد ارتوبیپروکسن، کمتر از ۵ درصد کلینوبیپروکسن و بین ۲۵-۴۰ درصد کروماسپینل تشکیل شده‌اند که در گوشه، بر اثر فرایندهای زمین‌ساختی، گاهی به صورت خرد شده دیده می‌شوند. این سنگ‌ها عموماً دارای بافت گوشه‌ای (دانه‌دار) هستند. بخش زیادی از الیوین-



شکل ۱ نقشه زمین‌شناسی فرقلیابی‌های شمال رودان، (اقتباس از نقشه‌ی زمین‌شناسی ۱:۲۵۰۰۰۰ [۲].



شکل ۲ (الف) الیوین در هارزبورژیت‌ها با بافت پوئی کلیتیک، حاشیه و اکنشی و تیغه‌های نا‌آمیزشی کلینوپیروکسن که به موازات رخ‌های آن وجود دارد (XPL); (ب) درشت بلور ارتوپیروکسن هارزبورژیتی همراه با خاموشی موجی و طویل شدگی تحت تأثیر تنش کششی (XPL); (ت) کانی اسپینل سرخ - قهقهه‌ای بی‌شکل و تجزیه شده به مگنتیت در زمینه‌ای از هارزبورژیت سرپانتینی شده (PPL). (ث) الیوین، کلینوپیروکسن، ارتوپیروکسن موجود در سنگ‌های لرزولیت (XPL)، (ج) درشت بلور کلینوپیروکسن موجود در لرزولیت‌ها به همراه ادخال‌هایی از کانی الیوین (XPL)، علائم اختصاری از [۳].

لرزولیت‌ها مهم‌ترین عامل سنگ‌شناصی منطقه به شمار می-رونده. بررسی‌های سنگ‌نگاری نشان می‌دهد که ترکیب لرزولیت‌ها، شامل ۶۰-۷۰ درصد الیوین، بین ۱۵ تا ۱۰ درصد کلینوپیروکسن و حدود ۲۰ درصد ارتوپیروکسن است. کروم-اسپینل نیز به عنوان کانی فرعی بین ۱ تا ۲ درصد در نمونه‌ها وجود دارد (شکل ۲ ث و ج). علائم اختصاری کانی‌ها از [۳] اقتباس شده‌اند.

شیمی کانی‌ها الیوین و کلینوپیروکسن

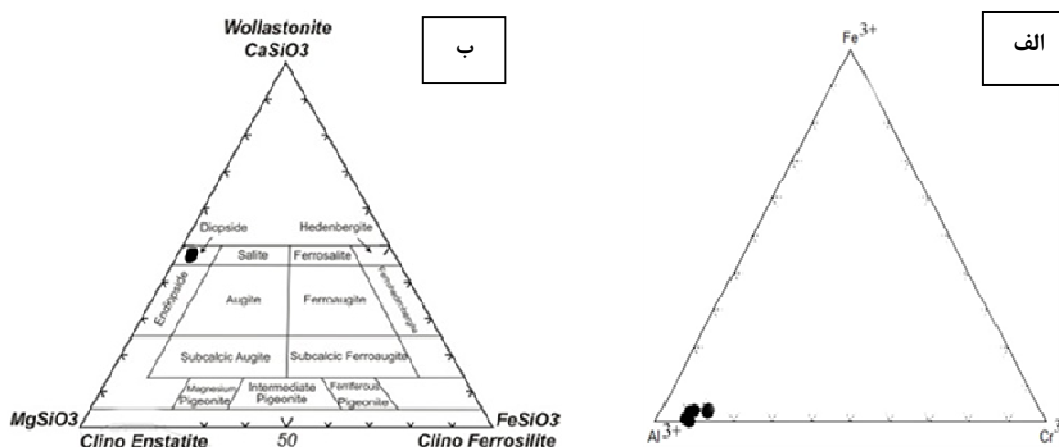
الیوین‌های موجود در فرقلیایی‌های بررسی شده غنی از منیزیم هستند، به گونه‌ای که مقدار MgO بین ۵۰/۱۷ تا ۵۰/۵۵ درصد وزنی محاسبه شده است. سنگ‌های فوق بازی نوع آلپی دارای، بالاترین مقدار منیزیم هستند [۴] مقدار MnO (۰/۱۱ تا ۰/۱۷ درصد وزنی)، NiO (۰/۱۱ تا ۰/۰۹ درصد وزنی) و نیز مقدار FeO الیوین (۰/۲۱ تا ۱۰/۰۶ درصد وزنی) موجود در این سنگ‌ها نسبتاً پایین است. در رده‌بندی این کانی‌ها (شکل ۳)

دهنده‌ی تقدم تبلور الیوین‌ها نسبت به ارتوپیروکسن‌هاست. از طرف دیگر حاشیه‌ی ارتوپیروکسن‌ها به صورت بریده بریده، و خلیج خورده دیده می‌شوند که به وسیله‌ی الیوین‌ها ریز دانه پر شده است (شکل ۲ ب). خاموشی موجی نیز ویژگی بسیاری از کانی‌های ارتوپیروکسن موجود در سنگ است. بعضی از بلورهای ارتوپیروکسن درشت، تحت تأثیر تنش برشی طویل قرار گرفته‌اند (شکل ۲ پ). کلینوپیروکسن‌ها از نظر اندازه از ارتوپیروکسن‌ها کوچکتر بوده، ولی نسبت به ارتوپیروکسن‌ها مقاوم‌ترند و کمتر از آنها تحت تأثیر دگرسانی قرار گرفته‌اند.

اسپینل‌ها تنها در فضای بین کانی‌ها و در اغلب موارد در زمینه‌ی سرپانتینی سنگ حضور دارند و در الیوین‌ها و پیروکسن‌ها دیده نمی‌شوند. بیشتر آنها نیمه شکل دار و در نور طبیعی به رنگ سرخ تا قهقهه‌ای تیره بوده و در مواردی حاشیه‌ای سیاه که ناشی از مگنتیتی شدن این کانی‌هاست، در اطراف آنها و درون شکستگی‌ها دیده می‌شوند، که این به دلیل افزایش آهن در این مناطق است (شکل ۲ ت). پس از هارزبورژیت‌ها،

الیوین‌های موجود در سنگ‌های لرزولیتی فرقلیایی رودان، $Mg\# = [Mg / (Mg + Fe^{+2})]$ فرمول ساختاری و میزان آن‌ها در جدول ۱ آورده شده است.

گسترده‌ی ترکیب الیوین‌های موجود در لرزولیت‌ها در مثلث Fo - Ca و Fa نشان داده شده است [۵]. این نمودار نشان می‌دهد که، الیوین‌ها دارای ترکیب فورستریتی هستند. میانگین نتایج آنالیز نقطه‌ای ($Fo = 91.61-89.8$)



شکل ۳ الف- گسترده‌ی ترکیبی کلینوپیروکسن‌ها فرقلیایی رودان روی مثلث $W0-En-Fs$ - فلاستونیت $-En$ - فروسیلیت $-Fs$ ، ب- موقعیت ترکیبی کروم‌اسپینل‌های موجود در فرقلیایی رودان بر روی نمودار سه‌تایی $[Fe^{+3}, Al^{+3}, Cr^{+3}]$. [۶].

جدول ۱ نتایج بررسی نقطه‌ای و محاسبه‌ی فرمول ساختاری برخی از الیوین‌های موجود در لرزولیت‌های فرقلیایی رودان (سمت راست).

Sample wt%	۱۶	۱۶	۵۸	۵۸	۱۰۲	۱۰۲
Na_2O	۰.۱۱	۰.۱۶	۰.۴۳	۰.۴۹	۰.۳۹	۰.۵۲
K_2O	۰	۰	۰.۰۲	۰	۰.۰۲	۰
MgO	۱۷.۹۷	۱۷.۴۳	۱۷.۶۱	۱۷.۵۱	۱۷.۹۴	۱۶.۸۴
CaO	۲۴.۸۲	۲۴.۲۴	۲۲.۵۵	۲۲.۸۱	۲۳.۵۳	۲۳.۵۵
MnO	۰.۰۹	۰.۰۷	۰.۰۷	۰.۰۷	۰.۰۷	۰.۰۶
FeO	۱.۷۱	۲.۰۵	۱.۹۸	۲.۰۴	۲.۳۸	۲.۲۱
NiO			۰.۰۲	۰.۰۱	۰.۰۲	۰.۰۲
Al_2O_3	۲.۴۶	۳.۱۹	۳.۲	۳.۳	۳.۴	۳.۸۸
Cr_2O_3	۰.۴۳	۴۸.۰	۰.۴۲	۰.۴۴	۰.۶۱	۰.۸
SiO_2	۵۳.۲۹	۵۳.۰۳	۵۲.۳۸	۵۲.۳۸	۵۲.۲	۵۱.۲۹
TiO_2	۰.۲۴	۰.۲۵	۰.۲۲	۰.۲۸	۰.۲۵	۰.۲۳
Total	۱۰۳.۱۳	۱۰۰.۹۲	۹۸.۹	۹۹.۲۸	۱۰۰.۸۱	۹۹.۴
Si	۱.۹۰۶	۱.۹۰۵	۱.۹۱۳	۱.۹۰۴	۱.۸۷	۱.۸۶۷
Ti	۰.۰۰۶	۰.۰۰۷	۰.۰۰۶	۰.۰۰۸	۰.۰۰۷	۰.۰۰۶
Al	۰.۱۰۴	۰.۱۲۵	۰.۱۳۸	۰.۱۴۱	۰.۱۴۴	۰.۱۶۶
Cr	۰.۰۱۲	۰.۰۱۴	۰.۰۱۲	۰.۰۱۳	۰.۰۱۷	۰.۰۲۳
Fe^{+3}	۰.۰۶۶	۰.۰۴	۰.۰۴۸	۰.۰۶۳	۰.۱۱۲	۰.۱۰۱
Fe^{+2}	-۰.۰۱۵	۰.۰۲۲	۰.۰۱۲	-۰.۰۰۱	-۰.۰۴۱	-۰.۰۳
Mn	۰.۰۰۳	۰.۰۰۲	۰.۰۰۲	۰.۰۰۲	۰.۰۰۲	۰.۰۰۲
Mg	۰.۹۵۹	۰.۹۳۳	۰.۹۵۹	۰.۹۵	۰.۹۵۸	۰.۹۱۴
Ca	۰.۹۵۱	۰.۹۳۲	۰.۸۸۲	۰.۸۸۹	۰.۹۰۳	۰.۹۱۸
Na	۰.۰۰۸	۰.۰۱۱	۰.۰۳	۰.۰۳۵	۰.۰۲۷	۰.۰۳۷
Wo	۴۸.۵	۴۸.۳۹	۴۶.۴	۴۶.۷۷	۴۶.۷۳	۴۸.۳۵
En	۴۸.۸۹	۴۸.۴۱	۵۰.۴۲	۴۹.۹۶	۴۹.۵۸	۴۸.۱۱
Fs	۲.۶۱	۳.۱۹	۳.۱۸	۳.۲۷	۳.۶۹	۳.۵۴
$Mg\#$	۰.۹۸	۰.۹۷	۰.۹۸	۱	۰.۹۵	۱

تعیین کرد. برای شناسایی ترکیب شیمیایی کروماسپینل‌ها، در حدود ۱۱ نقطه از کانی کروماسپینل موجود در لرزولیت‌ها مورد بررسی نقطه‌ای قرار گرفتند و فرمول ساختاری آن‌ها بر اساس ۳۲ اتم اکسیژن و ۲۴ کاتیون محاسبه شدند. مقدار Fe^{+2} و Fe^{+3} براساس ضرایب عنصرسنگی و فرمول ارائه شده به وسیله‌ی [۷] محاسبه شده‌اند. ترکیب و فرمول ساختاری اسپینل‌های موجود در لرزولیت‌ها در جدول ۳ آورده شده است. داده‌های حاصل از تجزیه‌های نقطه‌ای نشان می‌دهد که عدد کروم $[\text{Cr}] = [\text{Cr} / (\text{Cr} + \text{Al}) * 100]$ در کروماسپینل‌ها بین ۱۴ تا ۲۲ درصد است. در برابر آن مقادیر عدد منیزیم $\text{Mg\#} = [\text{Mg} / (\text{Mg} + \text{Fe}^{+2}) * 100]$ (۷۷-۷۱ درصد) نسبتاً بالاست.

میانگین نتایج و فرمول ساختاری این کانی‌ها و نتایج محاسبه‌ی درصد اعضای پایانی، به همراه Mg\# این میانگین کلینوپیروکسن‌ها در جدول ۲ آورده شده است. کلینوپیروکسن‌های لرزولیتی، دارای Mg\# برابر با ۰/۹۸ هستند، با انتباط مقادیر (En~49)، (Fs~3) و (Wo~48) روی نمودار (شکل ۳) ترکیب کلینوپیروکسن‌های موجود در لرزولیت‌ها در گستره‌ی دیوپسید قرار می‌گیرد.

کروماسپینل

در سنگ‌های پریدوتیتی مورد بررسی، بیشتر فازهای سیلیکاتی تشکیل دهنده‌ی این سنگ‌ها به کانی ثانویه مانند سرپانتین دگرسان شده‌اند، ولی کانی‌های کروماسپینل موجود در این سنگ‌ها در بیشتر موارد بدون تغییر باقی مانده‌اند و به کمک آنها می‌توان ترکیب شیمیایی اولیه‌ی سنگ‌های پریدوتیتی را

جدول ۲ نتایج بررسی نقطه‌ای و محاسبه‌ی فرمول ساختاری برخی از کلینوپیروکسن‌های موجود در لرزولیت‌های فرقلیایی رودان (سمت چپ).

Sample wt%	۵۸	۵۸	۱۰۲	۱۰۲	۱۰۲
Na_2O	·	۰,۰۴	۰,۰۵	۰,۰۴	۰,۰۲
K_2O	۰,۰۱	۰,۰۱	·	۰,۰۱	·
MgO	۵۱,۰۴	۵۰,۵۵	۵۱,۳	۵۰,۳۸	۵۰,۰۴
CaO	۰,۰۱	۰,۰۱	۰,۰۱	۰,۰۱	۰,۰۱
MnO	۰,۱۱	۰,۱۱	۰,۱۳	۰,۱۳	۰,۱۴
FeO	۸,۲۱	۸,۵۶	۱,۲۷	۱۰,۰۶	۹,۶۱
NiO	۰,۰۹	۰,۰۸	۰,۱	۰,۱	۰,۱
Al_2O_3	۰,۰۶	۰,۰۲	۰,۰۳	۰,۰۱	۰,۰۲
Cr_2O_3	۰,۰۶	·	·	۰,۰۱	·
SiO_2	۴۱,۱	۴۰,۹۶	۴۰,۵	۴۰,۵۱	۴۰,۴۱
TiO_2	·	۰,۰۱	·	·	۰,۰۱
Total	۱۰۰,۷	۱۰۰,۳	۱۰۱	۱۰۱,۲۶	۱۰۰,۷۲
Si	۰,۹۹۳	۰,۹۹۴	۰,۹۷	۰,۹۷۹	۰,۹۸
Ti	·	·	·	·	·
Al	۰,۰۰۲	۰,۰۰۱	۰,۰۰	·	۰,۰۰۱
Cr	۰,۰۰۱	·	·	·	·
Fe^{3+}	۰,۰۱۱	۰,۰۱۱	۰,۰۵	۰,۰۴۲	۰,۰۴
Fe^{2+}	۰,۱۵۴	۰,۱۶۳	۰,۱۳	۰,۱۶۱	۰,۱۵۵
Mn	۰,۰۰۲	۰,۰۰۲	۰,۰۰	۰,۰۰۳	۰,۰۰۳
Mg	۱,۸۳۶	۱,۸۲۹	۱,۸۳	۱,۸۱۵	۱,۸۲۲
Ca	·	·	·	·	·
Te	۰,۱۱	۰,۱۱	۰,۱۳	۰,۱۳	۰,۱۴
Fo	۹۱,۶۱	۹۱,۲۱	۹۰,۶	۸۹,۸	۹۰,۲
Fa	۸,۲۷	۸,۶۶	۹,۱۸	۱۰,۰۶	۹,۶۵
Mg\#	۰,۹۲	۰,۹۱	۰,۹۳	۰,۹۲	۰,۹۲

جدول ۳ نتایج بررسی نقطه‌ای و محاسبه‌ی فرمول ساختاری برخی از کروماسپینل‌های موجود در لرزولیت‌های فرقلیایی رودان.

Sample wt%	۱۶	۱۶	۱۶	۱۶	۵۸	۵۸	۵۸	۵۸	۱۰۲	۱۰۲	۱۰۲
Na ₂ O	۰,۰۵	۰,۰۱	۰,۰۱	۰,۰۴	۰,۱۲	۰,۱	۰,۱۳	۰,۰۶	۰,۱۶	۰	۰,۰۸
K ₂ O	۰	۰,۰۳	۰	۰,۰۱	۰,۱	۰,۰۱	۰,۰۱	۰,۰۱	۰,۰۲	۰,۰۲	۰,۰۲
MgO	۱۹,۸۵	۱۹,۴۳	۱۹,۵۸	۱۹,۷۹	۱۸,۷۷	۱۸,۸	۱۸,۶۲	۱۹	۱۷,۷	۱۷,۷	۱۷,۸۹
CaO	۰	۰,۰۱	۰,۰۱	۰	۰	۰,۰۱	۰,۰۱	۰	۰,۰۳	۰	۰,۰۳
MnO	۰	۰	۰	۰	۰	۰	۰	۰	۰	۰	۰
FeO	۱۲,۴۴	۱۲,۵۳	۱۲,۰۱	۱۲,۹۷	۱۲,۹۸	۱۲,۵۸	۱۲,۹۳	۱۲,۷	۱۴,۶	۱۴,۴	۱۳,۹۶
NiO					۰,۰۶	۰,۰۶	۰,۰۶	۰,۰۶	۰,۰۶	۰,۰۶	۰,۰۲
Al ₂ O ₃	۵۲,۵۳	۵۱,۵۸	۵۲,۱۱	۵۲,۰۷	۵۲,۹۳	۵۲,۷۵	۵۲,۶۵	۵۳	۴۶,۶	۴۶,۳	۴۶,۴۷
Cr ₂ O ₃	۱۳,۷۸	۱۴,۱۲	۱۴,۸۲	۱۵,۰۷	۱۳,۱۱	۱۲,۹۲	۱۲,۹۷	۱۲,۷	۱۹,۳	۱۹,۷	۱۹,۸
SiO ₂	۱,۳۱	۲,۰۴	۰	۰,۱۷	۰,۵۵	۰,۳۸	۰,۸۷	۰,۲۶	۰,۲۷	۰	۰,۳
TiO ₂	۰,۰۴	۰,۰۶	۰,۱	۰,۰۹	۰,۰۳	۰,۰۵	۰,۰۲	۰,۰۵	۰,۱	۰,۰۳	۰,۰۵
Total	۱۰۰	۱۰۰,۸۱	۹۹,۶۴	۱۰۰,۲	۹۹,۶۵	۹۸,۶۶	۹۸,۲۷	۹۸,۸	۹۸,۹	۹۸,۲	۹۸,۶۲
Si	۰,۰۳۴۴	۰,۰۸	۰	۰,۰۰۴	۰,۰۱۵	۰,۰۱	۰,۰۲۳	۰,۰۱	۰,۰۱	۰	۰,۰۰۸
Ti	۰,۰۰۱	۰,۰۰۱	۰,۰۰۲	۰,۰۰۲	۰,۰۰۱	۰,۰۰۱	۰	۰	۰	۰	۰,۰۰۱
Al	۱,۶۲۷	۱,۵۹۳	۱,۶۲۷	۱,۶۱۷	۱,۶۶۹	۱,۶۶۳	۱,۶۶۶	۱,۶۷	۱,۵۱	۱,۵۱	۱,۵۰۶
Cr	۰,۲۸۶	۰,۲۹۳	۰,۳۱	۰,۳۱۴	۰,۲۷۷	۰,۲۷۳	۰,۲۷۵	۰,۲۸	۰,۴۲	۰,۴۳	۰,۴۳
Fe ³⁺	۰,۰۱۶	۰	۰,۰۵۹	۰,۰۵۷	۰,۰۲۴	۰,۰۴۲	۰,۰۱۲	۰,۰۵	۰,۰۵	۰,۰۶	۰,۰۴۵
Fe ²⁺	۰,۲۵۷	۰,۲۷۵	۰,۲۲۹	۰,۲۲۹	۰,۲۶۷	۰,۲۶۲	۰,۲۷۹	۰,۲۵	۰,۲۹	۰,۲۷	۰,۲۷۶
Mn	۰	۰	۰	۰	۰	۰	۰	۰	۰	۰	۰
Mg	۰,۷۷۸	۰,۷۵۹	۰,۷۷۳	۰,۷۷۷	۰,۷۴۸	۰,۷۴۹	۰,۷۴۵	۰,۷۵	۰,۷۲	۰,۷۳	۰,۷۳۳
Cr#	۰,۱۴	۰,۱۵	۰,۱۶	۰,۱۶	۰,۱۴	۰,۱۴	۰,۱۴	۰,۱۴	۰,۲۱	۰,۲۲	۰,۲۲
Mg#	۰,۷۵	۰,۷۳	۰,۷۷	۰,۷۷	۰,۷۳	۰,۷۴	۰,۷۲	۰,۷۵	۰,۷۱	۰,۷۳	۰,۷۲
Cr/Al	۰,۱۲	۰,۱۸	۰,۱۹	۰,۱۹	۰,۱۳	۰,۱۶	۰,۱۶	۰,۱۶	۰,۲۷	۰,۲۸	۰,۲۸
Fe ³⁺ #	۰,۰۰۸	۰	۰,۰۲۹	۰,۰۲۸	۰,۰۱۲	۰,۰۲۱	۰,۰۰۶	۰,۰۲۵	۰,۰۲۵	۰,۰۳	۰,۰۲۲

تمایل و کشیده شدن ترکیبات کروماسپینل به سمت قطب Al³⁺ است. در واقع کروماسپینل موجود در لرزولیت‌ها غنی از آلومینیم هستند. بین اکسیدهای Al₂O₃ و MgO همبستگی مثبت وجود دارد (شکل ۴ الف). هم چنین ارتباط منفی بین اکسیدهای Al₂O₃ و TiO₂ در نمونه‌های لرزولیتی (شکل ۴ ب) به خوبی نمایان است.

مقدار TiO₂ در کروماسپینل موجود در لرزولیت‌ها بسیار پایین (با میانگین ۰,۰۵ درصد) و حداقل به ۰,۱ درصد می‌رسد (جدول ۳). براساس بررسی‌های [۹] می‌توان بر پایه‌ی TiO₂ موجود در کروماسپینل‌های کانسارهای لایه‌ای و نیامی شکل (پودیفرم)، این دو را از یکدیگر جدا کرد، به گونه‌ای که مقدار TiO₂ در کانسارهای نیامی شکل کمتر از ۰,۳ درصد بوده، در

داده‌های حاصل از تجزیه‌ی نقطه‌ای نشان می‌دهد که، در ترکیب شیمیایی کروماسپینل‌های لرزولیتی میزان Cr₂O₃ در گستره‌ی بین ۱۲,۶۶ تا ۱۹,۸۰ درصد وزنی تغییر می‌کند و از این رو اکسید نسبتاً فقیرند. ولی از Al₂O₃ - ۵۲,۹۸ (Al#) نسبتاً غنی هستند، که به خاطر افزایش این اکسید میزان Cr# کاهش یافته است. همچنین کمترین میزان FeO (۱۲,۴۴ تا ۱۴,۶۱ درصد وزنی) را به خود اختصاص داده‌اند (جدول ۳). این نوع ترکیب احتمالاً نشان دهنده یک ترکیب پیکوتیتی (اسپینل قهقهه‌ای) [۸] است. ترکیب شیمیایی Fe³⁺- Al³⁺- Cr³⁺ منطقه در نمودار مثلثی (شکل ۳) نشان داده شده است. چنانکه مشهود است نمونه‌ها بر روی محور Cr³⁺ - Al³⁺ قرار می‌گیرند و نشان دهنده‌ی

شود و برعکس. گستره‌های گوناگون مشخص شده در شکل ۵ توسط [۱۴، ۱۵] پیشنهاد شده است.

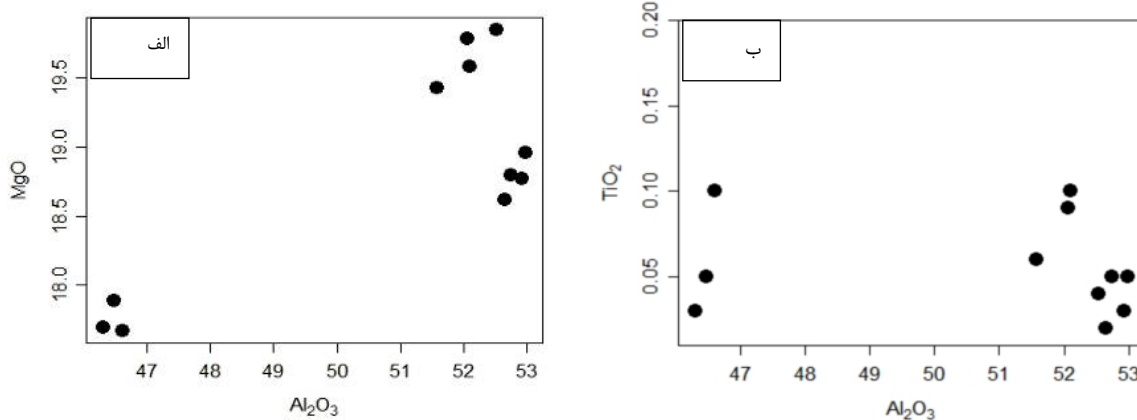
مقدار TiO_2 به عنوان یک فاکتور برای تشخیص محیط تکتونیکی لحاظ می‌شود. در نمودار TiO_2 در مقابل Al_2O_3 که برای تمایز گستره‌های منطقه ابرفروزانده‌ی (SSZ) از پشت‌های میان اقیانوسی (MORB) ارائه شده است، ترکیب کروماسپینل لرزولیت‌های بررسی شده در موقعیت پریدوتیت‌های کف اقیانوس (مورب) قرار می‌گیرند (شکل ۵ ب). کروماسپینل موجود در لرزولیت‌ها از نوع آلومینیوم بالا هستند (جدول ۳). بالا بودن Al و نیز مقدار Ti پایین در اسپینل از سرشتی‌های اسپینل‌های مورب هستند [۱۶]. از طرف دیگر بالا بودن $\text{Cr}^{\#}$ در اسپینل، از اسپینل‌های محیط فروزانشی است که برخلاف این برداشت، با توجه به پایین بودن $\text{Cr}^{\#}$ در کروماسپینل لرزولیت‌ها، می‌توان گفت که سرشتی‌ها به محیط مورب واپس‌هایند. از سوی دیگر با همخوانی ترکیب کروماسپینل، پریدوتیت‌ها در نمودار TiO_2 در برابر $\text{Cr}^{\#}$ ، کروم‌اسپینل لرزولیت‌ها در موقعیت الیوین-اسپینل آرایه‌ی گوشته قرار می‌گیرند و ترکیب این کانی از ترکیب آرایه‌های موجود در گوشته پیروی می‌کند.

مقادیر اکسیدهای Cr_2O_3 و MgO [۱۷] موجود در کروم‌اسپینل‌ها ارتباط منفی با یکدیگر دارند که در شکل ۶ الف مشاهده می‌شود. این نمودار نیز نشان می‌دهد که کروماسپینل موجود در لرزولیت‌های فرقلیایی رودان در گستره‌ی آرایه‌ی گوشته‌ای و در انتهای با تهی شدگی پایین قرار می‌گیرند.

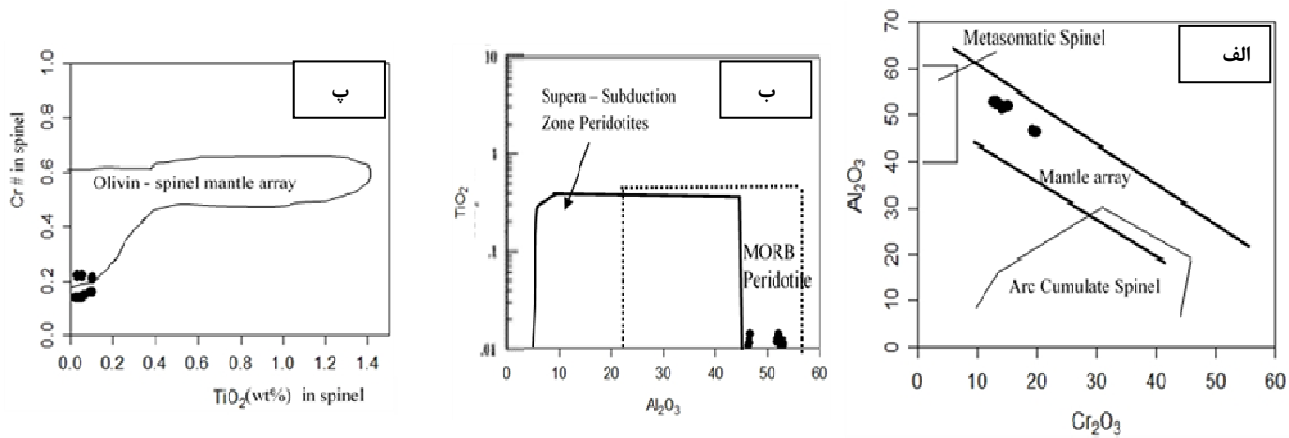
حالی که مقدار این اکسید در انواع لایه‌ای شکل بیشتر از ۰/۳ درصد است، زیرا طی ذوب بخشی گوشته‌ی فوکانی، Ti به شدت وارد گدازه می‌شود [۱۰].

سنگزایی

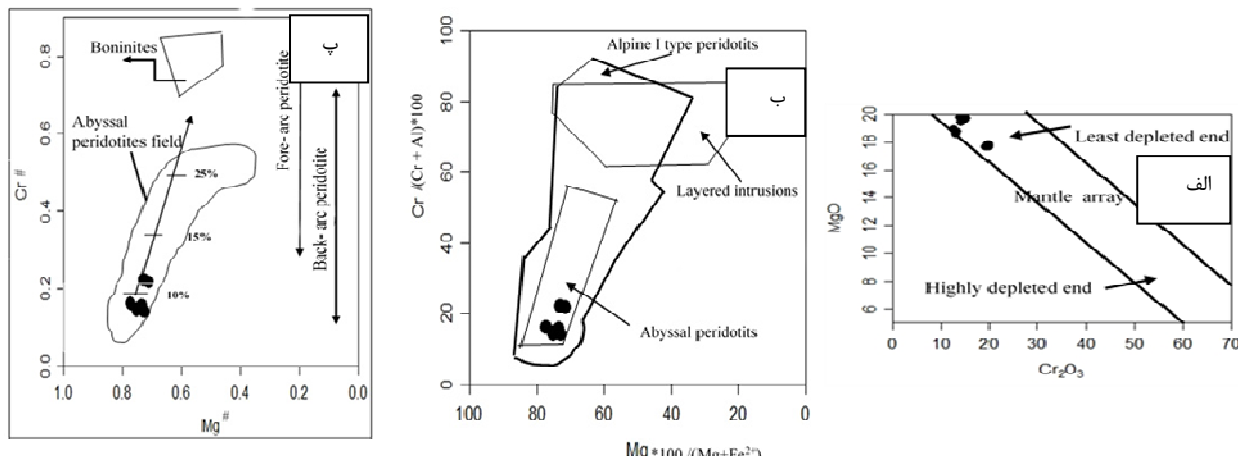
علیرغم سربانتینی شدن کانی‌های سیلیکاتی، کروماسپینل‌ها عموماً کمتر دگرسان شده و شیمی مطمئن‌تری دارند. شیمی کانی اسپینل اطلاعات مفیدی از شیمی ماگما، گریزندگی اکسیژن و دمای تشکیل سنگ نشان می‌دهد و شاخص مناسی برای آگاهی از زمین‌ساختی گذشته‌ی منطقه است [۱۱، ۱۲]. نسبت $(\text{Cr}^{\#}) = [\text{Cr}] / (\text{Cr} + \text{Al})$ به عنوان یک شاخص سنگزایی مهم برای سنگ‌های فرقلیایی و قلایی به حساب می‌آید [۱۳] نسبت $(\text{Mg}^{\#}) = (\text{Mg}/\text{Mg}+\text{Fe})$ با مقادیر متفاوت در کروماسپینل‌ها نسبت معکوس دارند [۱۳]. ترکیب شیمیایی کانی‌های بررسی شده موجود در لرزولیت‌های فرقلیایی، برای تعیین محیط زمین‌ساختی و خاستگاه، در نمودارهای سنگزایی مورد بررسی قرار گرفته‌اند. اگر محتوای Cr_2O_3 کانی‌های اسپینل موجود در لرزولیت‌ها در برابر Al_2O_3 آن‌ها ترسیم شود، تمامی کروماسپینل‌ها در گستره الیوین-اسپینل شاخص گوشته‌ای (OSMA) (قرار می‌گیرند (شکل ۵ الف). در نمودار Cr_2O_3 و Al_2O_3 همبستگی منفی بین تمامی نمونه‌های لرزولیت برقرار است. چنین ارتباطی گویای جانشینی اتمی Al^{+3} به جای Cr^{+3} در شبکه‌ی ساختاری کروماسپینل است. چنانکه با افزایش مقادیر Cr^{+3} ، از مقدار Al^{+3} کاسته می-



شکل ۴ (الف) ارتباط مثبت Al_2O_3 و MgO در کروماسپینل (ب) ارتباط منفی Al_2O_3 و TiO_2 در کروماسپینل موجود در فرقلیایی رودان [۱۵].



شکل ۵ الف - نمودار درصد وزنی Al_2O_3 در مقابل Cr_2O_3 پ - نمودار Cr_2O_3 در مقابل TiO_2 ب - نمودار Cr_2O_3 در مقابل Al_2O_3 پ - کروماسپینل‌ها در گسترده‌ی آرایه الیون - اسپینل گوشته‌ای [۱۶].



شکل ۶ الف - نمودار درصد وزنی Cr_2O_3 در مقابل MgO کروماسپینل [۱۷] ب - نمودار $\text{Cr}\#$ در مقابل $\text{Mg}\#$ کروماسپینل [۱۸] پ - نمودار $\text{Cr}\#$ در مقابل $\text{Mg}\#$ اسپینل‌ها، که در آن گسترده‌ی آبیسال، جلوی قوس و پشت قوس مشخص شده‌اند [۱۳].

میزان $\text{Cr} \# (\text{Sp})$ نمونه‌های لرزولیتی مورد بررسی بین ۱۴ تا ۲۲ درصد متغیر است. با توجه به مفاهیم بیان شده در مورد عدد کروم و مقایسه آن‌ها به نظر می‌رسد لرزولیت‌ها در گسترده‌ی واپسته به پریدوتیت‌های آبیسال (نوع آلبی) قرار می‌گیرد. از نکات قابل توجه در نمودارهای یادشده می‌توان به تغییرات بسیار محدود و ترکیب نزدیک کروماسپینل‌های موجود در لرزولیت‌ها اشاره کرد. تعیین نسبت Cr/Al در پریدوتیت‌های فاقد پلاژیوکلاز مناسب است، زیرا با وجود پلاژیوکلاز، آلومینیم در ساختار کانی پلاژیوکلاز قرار می‌گیرد، بنابراین شیمی کانی اسپینل تغییر می‌کند و نسبت کروم به آلومینیم آن افزایش

در نمودار $\text{Cr}\#$ در مقابل $\text{Mg}\#$ اسپینل [۱۹، ۱۸] (شکل ۶ ب) کروماسپینل لرزولیت‌ها با پریدوتیت‌های آبیسال که شامل پریدوتیت‌های نوع آلبی و نوع Al بالاست بیشترین همپوشانی دارند. عدد کروماسپینل موجود در پریدوتیت‌های آبیسال بالاتر از عدد کروماسپینل موجود در پریدوتیت‌های آبیسال است. گسترده‌ی عدد کروماسپینل در پریدوتیت‌های ابرفرورانشی از ۳۸ تا بالاتر از ۸۰ است که نشان می‌دهد درجهٔ ذوب‌بخشی در پریدوتیت‌های ابرفرورانشی در مقابل پریدوتیت‌های آبیسال بالاتر است. پریدوتیت ابرفرورانشی با عدد کروم ۳۸ تا ۵۸ با پریدوتیت‌های آبیسال همپوشانی دارد. چنانکه گفته شد

درجه‌ی ذوب بخشی تغییر می‌کند [۱۳]. محتوای TiO_2 آن‌ها اغلب کمتر از 0.3% در کروم اسپینل‌هایشان است. کروم-اسپینل موجود در لرزولیت‌ها با داشتن $\text{Cr}^{\#}$ بین 0.1 تا 0.2 و TiO_2 قریب به 0.1% مشابه مقادیر پریدوتیت‌های گوشه است. مقادیر $\text{Cr}^{\#}$ اسپینل یا Al_2O_3 معمولاً برای مشخص کردن سرشت خاستگاه گوشه پریدوتیتی و درجه‌ی ذوب بخشی استفاده می‌شوند [۲۴].

نسبت TiO_2 و $\text{Fe}^{2+}/\text{Fe}^{3+}$ کروم اسپینل می‌تواند در تعیین ویژگی‌های ابرفرونشی منطقه‌ی و پریدوتیت‌های نوع مورب استفاده شود [۲۵] پریدوتیت‌های آلپی (افیولیتی) را بر اساس $\text{Cr}^{\#}$ به سه دسته تقسیم می‌کنند: I) پریدوتیت‌هایی که محتوای اسپینل $\text{Cr}^{\#} > 0.6$ دارند و تصور می‌شود که از لیتوسفر اقیانوسی تشکیل شده در پشت‌های میان اقیانوسی (II) مشتق شده‌اند، اگرچه محیط‌های دیگر منع نشده‌اند. II) پریدوتیت‌هایی که حاوی اسپینل $0.6 > \text{Cr}^{\#} > 0.6$ هستند که اغلب به عنوان محیط‌های ایلن‌آرک‌های شبه‌آتش‌شانی در نظر گرفته می‌شوند و III) پریدوتیت‌هایی که حاوی اسپینل‌های در برگیرنده‌ی طیف کاملی از ترکیبات بین نوع I و II هستند، که بازتابی از یک خاستگاه ترکیبی مانند تشکیل سنگ‌های فروراننده به پوسته اقیانوسی هستند. بر این اساس می‌توان مشاهده کرد که کروم اسپینل موجود در لرزولیت‌های اولترامافیک رودان وابسته به نوع I بوده و از پشت‌های میان اقیانوسی مشتق شده‌اند [۲۷، ۲۶]. پریدوتیت‌های منطقه‌ی شامل هارزبورزیت و لرزولیت است و به نظر می‌رسد که لرزولیت‌های فرامافیکی، الیوین‌های غنی از منیزیم ($\text{Fo}_{89/8-91/61}$) و اسپینل کروم‌دار دارند که از ویژگی‌های شاخص پریدوتیت‌های اقیانوسی (آبیسال) است [۱۱]. در پریدوتیت‌ها معمولاً درجه ذوب‌شده‌ی از کمتر از ۵ درصد تا حدود ۳۰ درصد دیده شوند [۲۸]. با افزایش درجه‌ی ذوب بخشی سنگ‌های تهی شده یا به بیان دیگر سنگ‌های پریدوتیتی مادر گوشه‌ی بالایی، درصد مودی الیوین به تدریج افزایش، میزان کلینوپیروکسن به سرعت کاهش و میزان ارتپوپیروکسن نیز در آغاز به آرامی، ولی پس از

می‌یابد. در موقعیت زمین‌ساختی آبیسال اسپینل غنی از آلومینیم است و عدد کروم آن $0.59-0.10$ است که نسبت پایین کروم به آلومینیم نشان دهنده‌ی خروج گدازه کم از پریدوتیت مادر است [۱۳]. پریدوتیت‌های مورد بررسی فاقد کانی پلازیوکلاز هستند. نسبت Cr/Al در اسپینل موجود در لرزولیت‌ها برابر 0.19 است (جدول ۳). بنابراین لرزولیت‌های کمتر تهی شده از پریدوتیت‌های وابسته به آبیسال هستند، که همراه با خروج گدازه در مرکز گستره اقیانوس به وجود آمدند. فشار بخشی اکسیژن یا به عبارتی گریزندگی اکسیژن، از جمله پارامترهای اساسی در فرایندهای گوشه‌ای به شمار می‌رود. این پارامتر، موقعیت فشار - دمای انجماد گوشه از گوشه‌ی ریشه از تأثیر قرار داده و ترکیب گدازه و شاره‌های ریشه گرفته از گوشه نیز متأثر از وجود این عامل است. به علاوه، بعضی از سرشتی‌های ژئوفیزیکی گوشه نیز تحت تأثیر آن قرار دارد [۲۱، ۲۰] با استفاده از داده‌های ترمودینامیکی، گریزندگی اکسیژن از کروم-اسپینل‌ها محاسبه شده و تأکید بر این است که این کانی‌ها، شاخص‌های پتانسیل ماقماهای سیلیکاتی هستند که از آن‌ها متبلور می‌شوند. بنابر دریافت او نسبت $\text{Fe}^{3+}/\text{Fe}^{2+}$ در کروم-اسپینل تابعی از دما و گریزندگی اکسیژن است. در گوشه‌ی فوقانی، شرایط احیایی‌تر بوده و $f\text{O}_2$ بسیار پایین است [۲۲] با افزایش گریزندگی اکسیژن، $\text{Cr}^{\#}$ به نحو موثری افزایش می‌یابد. Fe^{3+} فقط به صورت فرعی در سنگ‌های پریدوتیتی وجود دارد. مقدار Fe^{3+} اسپینل تابعی از گریزندگی اکسیژن است. مقدار $\text{Fe}^{3+}/[\text{Fe}^{3+} + \text{Cr} + \text{Al}]$ در کروم اسپینل موجود در نمونه‌های لرزولیتی بسیار پایین است (با میانگین $\text{Fe}^{3+} = 0.10$). بر پایه بررسی‌های [۲۳]، مقادیر پایین Fe^{3+} در پریدوتیت‌ها می‌تواند بازتابی از شرایط تبلور، در گریزندگی پایین اکسیژن ($f\text{O}_2$) باشد. پایین بودن $\text{Cr}^{\#}$ نمونه‌های مورد بررسی نیز مovid این شرایط است.

مقدار $\text{Cr}^{\#}$ در کروم اسپینل‌های موجود در پریدوتیت‌های گوشه‌ی آبیسال، میانگینی از 0.1 تا 0.6 [۱۳] که از حدود 0.4 تا 0.6 در هارزبورزیت تا < 0.4 در لرزولیت در پاسخ به کاهش

برداشت

بررسی شیمی کانی‌ها به خصوص اسپینل‌های کرومدار که کانی‌های باقی مانده از پریدوتیت‌های گوشه‌ی اولیه در نظر گرفته می‌شوند نشان می‌دهد که لرزولیت‌های فراکلیایی رودان از نوع پریدوتیت‌های اقیانوسی بوده و شبیه پریدوتیت‌های نوع آلپی هستند. بنابر رده‌بندی پریدوتیت‌های نوع آلپی (افیولیتی) براساس مقدار $\text{Cr}^{\#}$, کروم اسپینل موجود در لرزولیت‌ها دارای مقادیر $\text{Cr}^{\#} < 6$ بوده و به پشتله‌های میان اقیانوسی وابسته‌اند. بر اساس نسبت کروم به آلومینیوم در اسپینل، لرزولیت‌ها با خروج گدازه‌ی کم و وابسته به پریدوتیت‌های آبیسال هستند. لرزولیت‌های منطقه‌ی مورد بررسی از تفاله‌های گوشه‌ی هستند که در نتیجه‌ی ذوب‌بخشی حدود ۱۲-۶ درصد از گوشه‌های به وجود آمده‌اند. بالا بودن Al و Ti پایین در کروم‌اسپینل‌ها نشان دهنده‌ی میان اقیانوسی است. همچنین پایین بودن $\text{Cr}^{\#}$ و مقدار کم $\text{Fe}^{+3\#}$ شرایط گریزندگی اکسیژن پایین را نشان می‌دهد.

مراجع

- [1] Barnes S. J., Roeder P. L., "The Range of spinel compositions in terrestrial mafic and ultramafic rocks", *Journal of Petrology*, 42 (2001) 2279-2302.
- [2] Mc Call, G. g. H., Morgan K. H., Huber H., "Geological Quadrangle Map of Minab, 1:250,000 Series", Sheet J 13, Geological Survey of Iran, Tehran .
- [3] Kretz R., "Symbols for rock-forming minerals", *American Mineralogist*, 68 (1983) 277-279.
- [4] Dick H. J. B., Bullen T., "Chromian spinel as a petrogenetic indicator in abyssal and Alpinetypic peridotites and spatially associated lavas", *Contributions to Mineralogy and Petrology*, 86 (1984) 54-76.
- [5] Poldervaart A., Hess H. H., "Nomenciatuure of clinopyroxenes in the system $\text{CaMgSi}_2\text{O}_6$ - CaFeSiO_6 - $\text{Mg}_2\text{Si}_2\text{O}_6$ - $\text{Fe}_2\text{Si}_2\text{O}_6$ ", *Journal of Geology*, 59(1951) 325-394.
- [6] Haggerty S., "Diamond genesis in a multiply-constrained model", *Nature*, 320 (1986) 34-38.

ناپدید شدن کلینوپیروکسن به سرعت کاهش می‌یابد. این تغییرات، بسته به ترکیب اولیه‌ی سنگ مادر در گستره‌ی ۱۵ تا ۳۰ درصد از درجه‌ی ذوب‌شدگی رخ می‌دهد [۲۴]. در طول پدیده ذوب بخشی، نه تنها نسبت فازهای موجود در تفاله کم و زیاد می‌شود، بلکه ترکیب هر فاز نیز تغییر می‌کند. برای نمونه، نسبت Mg/Fe در الیوین و پیروکسن‌ها و نیز نسبت Cr/Al در اسپینل‌ها افزایش می‌یابد، در حالی که میزان Al, Na و Ti پیروکسن‌ها کم می‌شود [۲۴]. که این پدیده نشان دهنده‌ی آن است که عناصر ماقما مانند Al, Fe, Ti و قلیائی‌ها تمایل دارند Cr که به گدازه وارد شوند، ولی عناصر دیر گداز مانند Mg و تمایل دارند که در تفاله باقی بمانند. بنابراین ترکیب مودی و نیز شیمی کانی‌های پریدوتیت‌های گوشه‌ای، می‌تواند شاخصی از درجه‌ی ذوب‌شدگی و یا تهی شدگی این سنگ‌ها باشد. به کمک ترکیب شیمیایی کانی‌های کروم اسپینل موجود در این سنگ‌ها می‌توان برآورد اولیه‌ای از میزان ذوب بخشی به دست آورد. عموماً چندین متغیر ترکیبی برای برآورد درجه‌ی تهی-شدگی پریدوتیت‌ها در اثر خروج گدازه از آن‌ها استفاده می‌شوند [۱۳]. از ترکیب شیمیایی کروم اسپینل‌های یادشده در تعیین میزان ذوب‌بخشی این سنگ‌ها استفاده شده است [۲۹]. بر پایه نمودار $\text{Cr}^{\#}$ در برابر $\text{Mg}^{\#}$ ، میزان ذوب بخشی لرزولیت‌های فراکلیایی رودان بین ۷ تا ۱۲ درصد برآورد می‌شود (شکل ۶ ج). همبستگی مثبتی با درجه‌ی ذوب‌بخشی دارد به گونه‌ای که کروم اسپینل‌ها با افزایش درجه‌ی تهی شدگی سرشار از کروم می‌شوند [۱۳]. با توجه به شکل ۶، کروم اسپینل موجود در لرزولیت‌ها در درجات پایین‌تری از ذوب‌بخشی ایجاد شده‌اند. همچنین یک رشته معادله‌ی تجربی در مورد ارتباط میان درجه‌ی ذوب‌بخشی و میزان $\text{Cr}^{\#}$ کروم‌اسپینل موجود در پریدوتیت‌های افیولیتی [۳۰] و پریدوتیت‌های اقیانوسی ارائه شده است. بر پایه‌ی معادله‌ی ارائه شده توسط $F\% = 9.71 * \ln(\text{Cr}^{\#}/\text{spl}) + 25.8$ لرزولیت‌های فراکلیایی رودان حدود $670 - 670 - 1109$ درصد ذوب بخشی را تحمل کرده‌اند.

- [17] Al-Aabed S., "Petrogenesis of chromite and associated minerals in the upper mantle pridotite of the northern Semail ophiolite", Ph.D thesis, The Ohio state University, (2000) 639 p.
- [18] Ishii T., Robinson P. T., Maekawa H., Fiske M., "Petrological studies of peridotites from diapiric serpentinite seamounts in Izu-Ogazawara-Mariana forearc", Leg 125. In: P., Fryer, J. A., Pearce and L. B., Stocking (Eds.): Proceedings of the Ocean Drilling Program. Scientific Results 125, College station, Texas, (1992) 445-485.
- [19] Monnier C., Girardeau J., Maury R., Cotton J., "Back-arc basin origin for the East Sulawesi ophiolite (eastern Indonesia)", Journal of Geology, 23 (1995) 851-854.
- [20] Taylor W.R., Green D. H., "The petrogenetic role of methane: effect on liquidus phase relations and the solubility mechanism of reduced C-H volatiles. In: Mysen BO (ed) Magmatic processes: physicochemical principles", Geochem. Soc. Spec Publ, (1987) 121-138 Ho.
- [21] Irvine T. N., "Chromian spinel as a petrogenetic indicator: part 2. Petrologic applications", Canadian Journal of Earth Sciences, 4 (1967) 71-103.
- [22] Hill R., Roeder P., "The crystallization of spinel from basaltic liquid as a function of oxygen fugacity", Journal of Geology, 82 (1974) 709-729.
- [23] Fisk M. R., Bence A. E., "Experimental crystallization of chrome spinel in FAMOUS basalt 527-I-1.", Earth and planetary science letters, 48 (1980) 111-123.
- [24] Jaques A. L., Green D. H., "Anhydrous melting of peridotite at 0-15 kb pressure and the genesis of tholeiitic basalts", Contribution to Mineralogy and Petrology, 73(1980)287-310.
- [25] Kamenetsky V. S., Crawford A. J., Meffre S., "Factors controlling chemistry of magmatic spinel: An empirical study of associated olivine, Cr-spinel and melt inclusions from primitive rocks", Journal Petrology, 42 (2001) 655-671.
- [۲۶] کعنایان ع.، و همکاران، "سنگ‌شناسی، شیمی کانی و شکل‌گیری کرومیت‌های آند و قشلاق، مجموعه‌ی افیولیتی
- [7] Droop G.T.R., "A general equation for estimating Fe+3 concentration in ferromagnesian silicates and oxides from microprobe analyses", using stoichiometric criteria. Mineralogical Magazine, 51(1987)431-435.
- [8] Ahmadipour H., Sabzehei M., Whitechurch H., Rastad E., Emami M. H., "Soghan complex as an evidence for paleospreading center and mantle diapirism in Sanandaj-Sirjan zone (South-east Iran)", Journal of Sciences, Islamic Republic of Iran, 14 (2003) 157-172.
- [9] Zhou M. F., Bai W. J., "Chromite deposits in China and their origin. Mineralium Deposita", 27 (1992) 192-199.
- [10] Jan M. Q., Windley B. F., "Chromian spinel-silicate chemistry in ultrabasic rocks of the Jijal complex, Northwest Pakistan", Journal of petrology, 31 (1990) 667-715.
- [11] Rollinson H., "Chromite in the mantle section of the Oman ophiolites a new genetic model", Island Arc, 14 (2005) 542-550.
- [12] Zhou M. F., Sun M., Keays R. R., Kerrich R. W., "Controls on platinum group elemental distribution of podiform chromitites. A case study of high-Cr and high-Al chromitites from Chinese orogenic belts", Geochemica et Cosmochimica Acta, 62 (1998) 677-688.
- [13] Dick H. J. B., "The origin and emplacement of the Josephin peridotite of Southwestern Oregon", Ph.D. thesis, Yale University, USA (1976) 409pp.
- [14] Kamenetsky V. S., Crawford A. J., Meffre S., "Factors controlling chemistry of magmatic spinel: An empirical study of associated olivine, Cr-spinel and melt inclusions from primitive rocks", Journal Petrology, 42 (2001)655-671.
- [15] Conrad W. K., Kay R. W., "Ultramafic and mafic inclusions from Adak Island: Crystallization history and implications for the nature of primary magmas and crustal evolution in the Aleutian arc", Journal of Petrology, 25(1984) 88-125.
- [16] Sigurdsson H., Schilling J. G., "Spinels in Mid-Atlantic ridge basalts: chemistry and occurrence", Earth and Planetary Science Letters, 29 (1976) 2-7.

- [۲۹] صلواتی م., و همکاران، "سنگ‌شناسی، شیمی کانی‌های اصلی سنگ‌های الترامافیک مجموعه افیولیتی جنوب دریای خزر (خاور گیلان): شواهدی از تفریق بلور در فشار بالا"، مجله بلورشناسی و کانی شناسی، شماره ص (۱۳۸۸) ۱۴۹ تا ۱۶۶.
- [30] Batanova V. G., Suhr G., Sobolev A. V., "Origin of Geochemical Heterogeneity in the Mantle Peridotites from the Bay of Islands Ophiolite, Newfoundland", Canada: Ion Probe Study of Clinopyroxenes. *Geochimica et Cosmochimica Acta*, 62 (1998) 853-866.

- خوی شمال غرب ایران، مجله بلورشناسی و کانی‌شناسی، شماره ۳ (۱۳۸۸) ص ۳۷۱ تا ۳۸۲.
- [۲۷] امینی ص., و همکاران، "سنگ‌نگاری، ژئوشیمی و سنگ-شناسی مجموعه افیولیتی جنوب صحنه (شمال شرق کرمانشاه)", مجله بلورشناسی و کانی شناسی، شماره ۲ (۱۳۸۵) ص ۲۴۶ تا ۲۲۵.
- [28] McDonough W. F., Frey F. A., "Rare earth elements in upper mantle rocks. In: Lipin, B. R. and McKay, G. A. (eds) *Geochemistry and Mineralogy of rare earth elements (Reviews in Mineralogy vol 21)*", Mineralogical Society of America, Washington, DC (1989) 99-145.